

Trabajo Práctico I

Aprendizaje Profundo

Alejo Ordoñez - 108397

Jueves 26 de Septiembre, 2024

Índice

1. Introducción	3
2. Red de Hopfield	4
2.1. Verificación del aprendizaje	4
2.2. Evaluación de versiones alteradas de las imágenes	4
2.3. Existencia de estados epurios	6
2.4. Entrenamiento con todas las imágenes	6
3. Capacidad de la red	8
3.1. Capacidad máxima en función del tamaño y error aceptable	8
3.2. Capacidad de la red con patrones correlacionados	8

1. Introducción

En este informe se presentan varios resultados obtenidos empíricamente a partir del entrenamiento de una red de Hopfield.

2. Red de Hopfield

Vamos a entrenar un modelo de Hopfield con un conjunto de 6 imágenes. Primero vamos a elegir un subconjunto de las mismas para ver si puede aprenderlas, luego vamos a corromper esas imágenes para ver si aún así logra distinguirlas y por último vamos a intentar enseñárselas todas.

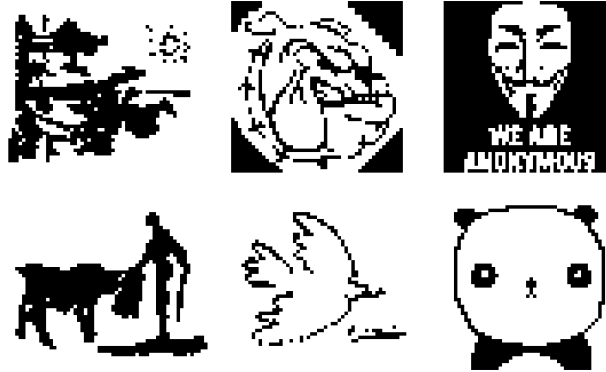


Figura 1: Conjunto completo de imágenes originales utilizadas para el entrenamiento.

Una red de Hopfield es un modelo de memoria asociativa que usa la regla de Hebb para todos los pares ij posibles, con unidades binarias y actualización asíncrona.

Regla de Hebb: $w_{ij} = \frac{1}{N} \sum_{\mu=1}^p \xi_i^{\mu} \xi_j^{\mu}$.

Para entrenar la red, se uniformiza el tamaño de las imágenes. En este caso decidí tomar como estándar las dimensiones de la imagen más grande y colocar aquellas que estuvieran por debajo sobre un fondo blanco de ese tamaño: 50 x 60.

La red de Hopfield, es en el notebook, una clase con métodos entrenar y recuperar. El entrenamiento consiste en asignar a los pesos la suma del producto de los patrones con signo mismo, asegurando el 0 en la diagonal, pues las unidades no deben hacer sinpasis consigo mismas en este modelo.

2.1. Verificación del aprendizaje

Para verificar si la red aprendió o no las imágenes enseñadas, intentamos recuperarlas sin ninguna modificación. Se entrena primero el modelo con tres de las imágenes de la figura 1. El resultado era el esperado, la red converge en las imágenes originales.



Figura 2: Subconjunto de imágenes utilizadas para el primer entrenamiento.

2.2. Evaluación de versiones alteradas de las imágenes

Para probar qué tan bien funciona la red, se distorsionan las imágenes que se intentan recuperar, con el objetivo de obtener las imágenes originales con las cuáles el modelo fue entrenado.



Figura 3: Imágenes recuperadas.

Primeramente se les agrega ruido a cada una de las imágenes. Esto se hace invirtiendo $(\text{nivel} * \text{tamaño de la imagen})$ píxeles. En este caso, se invirtieron la mitad de los píxeles. Al intentar recuperar las imágenes, la red las recordó correctamente.



Figura 4: Imágenes con ruido.



Figura 5: Imágenes recuperadas.

Nuevamente, corrompemos las imágenes, ésta vez eliminando cuadrados de tamaño $(\text{textnivel} * \text{texttamaodelaimagen})$ posicionados aleatoriamente. Y otra vez la red las recupera correctamente.



Figura 6: Imágenes con cuadrados removidos.



Figura 7: Imágenes recuperadas.

Rotamos las imágenes 180° . Esta vez la red se equivoca, y confunde la primera con la segunda.



Figura 8: Imágenes rotadas 180° .



Figura 9: Imágenes recuperadas.

2.3. Existencia de estados epurios

Un estado epurio es un estado estable que la red aprendió sin que se le enseñara. Para evaluar la existencia de estos estados, vamos a intentar recuperar patrones inversos y combinaciones lineales de una cantidad impar de imágenes del entrenamiento.



Figura 10: Imágenes invertidas.



Figura 11: Imágenes recuperadas.

La red recupera estos estados estables, que no se le enseñaron. Y así se verifica la existencia de estados epurios.

2.4. Entrenamiento con todas las imágenes

Cuando entrenamos la red con las imágenes de la figura 1, obtenemos al verificar su aprendizaje, es decir al intentar recuperar esas mismas imágenes, que la red no aprendió correctamente.



Figura 12: Imágenes combinadas linealmente.



Figura 13: Imágenes recuperadas.



Figura 14: Imágenes recuperadas.

La red no puede aprender bien los 6 patrones. Esto se debe a un punto débil de Hopfield: su capacidad de almacenamiento, que evidentemente, es excedida en este caso con 6 patrones.

3. Capacidad de la red

3.1. Capacidad máxima en función del tamaño y error aceptable

En función del tamaño N de la red buscamos, empíricamente, cuál es su máxima capacidad de almacenamiento $p_{\text{máx}}$ si toleramos cierta probabilidad de error $P_{\text{error}} = \frac{\text{\#patrones recuperados}}{\text{\#patrones totales}}$. Para medir esto, simulamos un ciclo en el cual agregamos más patrones pseudo-aleatorios a medida que la red los aprende, tomando como prueba de que pudo con ellos, que P_{error} sea menor a cierto número, es decir, que el cociente entre la cantidad de patrones recuperados y patrones totales sea menor a uno menos esa probabilidad tolerada $1 - P_{\text{error}}$. Obtenemos entonces, para éste experimento, la siguiente tabla:

P_{error}	$p_{\text{máx}}/N$
0.001	0.1
0.0036	0.13
0.01	0.12
0.05	0.2
0.1	0.3

Cuadro 1: $p_{\text{máx}}/N$ para valores de P_{error} determinados.

3.2. Capacidad de la red con patrones correlacionados

Ahora vamos a realizar el mismo experimento, sólo que esta vez, vamos a ir haciendo que la red aprenda más y más patrones correlacionados. Para eso partimos del patrón anterior y le agregamos ruido para crear uno nuevo.

P_{error}	$p_{\text{máx}}/N$
0.001	0.02
0.0036	0.02
0.01	0.02
0.05	0.02
0.1	0.02

Cuadro 2: $p_{\text{máx}}/N$ para valores de P_{error} determinados, entrenando la red con patrones correlacionados entre sí.

Evidentemente la red no puede generalizar si se le enseñan patrones demasiado parecidos, no logra diferenciar entre mínimos locales superpuestos en la función de energía.

Referencias

- [1] John Hertz, Anders Krogh, Richard G. Palmer, *Introduction to the Theory of Neural Computation*.